

„ZOOM AND ENHANCE“ GEHT WIRKLICH  
MIT ATOMIC NORM MINIMIZATION  
(UND OHNE MACHINE LEARNING)

Bachelorarbeit von Viktor Stein, März 2021  
*Betreuung: Prof. Dr. Gabriele Steidl und Dr. Robert Beinert*  
*AG Angewandte Mathematik*



17. Dies Mathematicus, 25.11.2022  
Institut für Mathematik, TU Berlin

# „ZOOM AND ENHANCE“-KLISCHEE

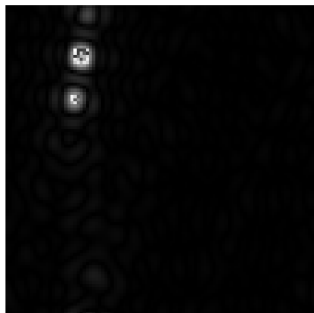
- „Zoom“ unrealistisch: Computer kann Pixel nicht erfinden

# „ZOOM AND ENHANCE“-KLISCHEE

- „Zoom“ **unrealistisch**: Computer kann Pixel nicht erfinden
- Mit ANM: „enhancen“ = **Auflösung verbessern**

# „ZOOM AND ENHANCE“-KLISCHEE

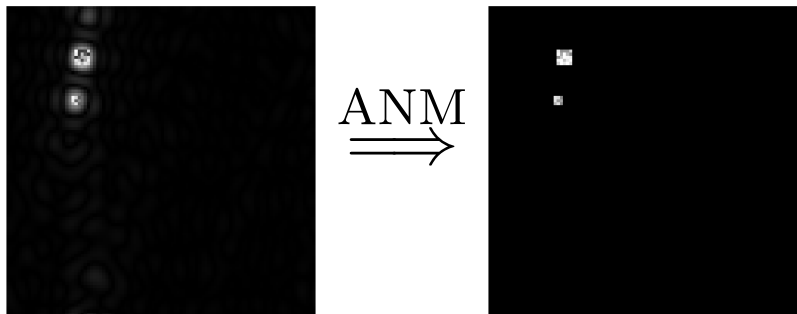
- „Zoom“ **unrealistisch**: Computer kann Pixel nicht erfinden
- Mit ANM: „enhancen“ = **Auflösung verbessern**



**ABB. 1:** Links: Bild mit niedriger Auflösung.

# „ZOOM AND ENHANCE“-KLISCHEE

- „Zoom“ **unrealistisch**: Computer kann Pixel nicht erfinden
- Mit ANM: „enhancen“ = **Auflösung verbessern**



**ABB. 1:** Links: Bild mit niedriger Auflösung. Rechts: Das Original.

# DAS MODELL IN 2D UND 1D

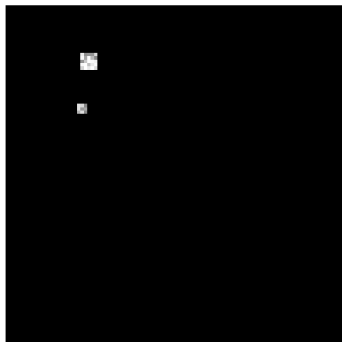
## Spärliche Bilder

# DAS MODELL IN 2D UND 1D

**Spärliche Bilder**  $\leadsto$  Viele Pixel enthalten keine Infos.

# DAS MODELL IN 2D UND 1D

**Spärliche Bilder**  $\rightsquigarrow$  Viele Pixel enthalten keine Infos.



# DAS MODELL IN 2D UND 1D

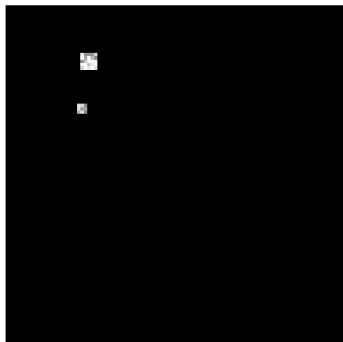
**Spärliche Bilder**  $\rightsquigarrow$  Viele Pixel enthalten keine Infos.



**1-dimensionales Analogon** zu Bildern:

# DAS MODELL IN 2D UND 1D

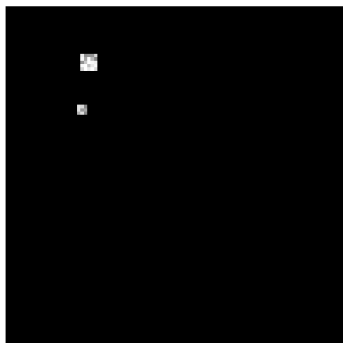
**Spärliche Bilder**  $\leadsto$  Viele Pixel enthalten keine Infos.



**1-dimensionales Analogon** zu Bildern:

# DAS MODELL IN 2D UND 1D

Spärliche Bilder  $\leadsto$  Viele, **viele** Pixel enthalten keine Infos.



1-dimensionales Analogon im Grenzwert zu  $\infty$  vielen Pixeln:



## DAS MATHEMATISCHE MODELL - EIN SPIKE TRAIN

Modelliere Signal als **spike train** auf dem Einheitskreis  $\mathbb{T}$ :

$$x := \sum_{k=1}^r c_k \delta_{t_k}$$

# DAS MATHEMATISCHE MODELL - EIN SPIKE TRAIN

Modelliere Signal als **spike train** auf dem Einheitskreis  $\mathbb{T}$ :

$$x := \sum_{k=1}^r c_k \delta_{t_k} \quad \delta_t(A) := \begin{cases} 1, & \text{wenn } t \in A, \\ 0, & \text{sonst.} \end{cases}$$

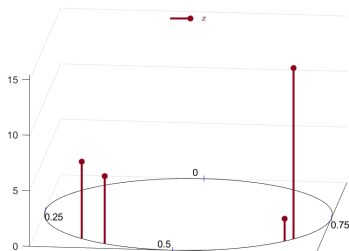
mit **Amplituden**  $(c_k)_{k=1}^r \in \mathbb{C} \setminus \{0\}$  und **Positionen**  $(t_k)_{k=1}^r \subseteq \mathbb{T}$ .

# DAS MATHEMATISCHE MODELL - EIN SPIKE TRAIN

Modelliere Signal als **spike train** auf dem Einheitskreis  $\mathbb{T}$ :

$$x := \sum_{k=1}^r c_k \delta_{t_k} \quad \delta_t(A) := \begin{cases} 1, & \text{wenn } t \in A, \\ 0, & \text{sonst.} \end{cases}$$

mit **Amplituden**  $(c_k)_{k=1}^r \in \mathbb{C} \setminus \{0\}$  und **Positionen**  $(t_k)_{k=1}^r \subseteq \mathbb{T}$ .



**ABB. 2:** Ein reeller spike train auf  $\mathbb{T}$  mit  $r = 4$  spikes.

# DAS NIEDRIG AUFGELOSTE SIGNAL

Wegen **Beugung**: bildgebendes Gerät hat **beschränkte Auflösung**.

⇒ das wirkliche empfangene, niedrig aufgelöste Signal ist

$$x_{\text{low}}: \mathbb{T} \rightarrow \mathbb{C}, \quad t \mapsto (x * g)(t)$$

# DAS NIEDRIG AUFGELOSTE SIGNAL

Wegen **Beugung**: bildgebendes Gerät hat **beschränkte Auflösung**.

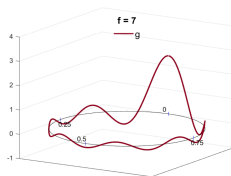
⇒ das wirkliche empfangene, niedrig aufgelöste Signal ist

$$x_{\text{low}}: \mathbb{T} \rightarrow \mathbb{C}, \quad t \mapsto (x * g)(t)$$

wobei

$$g(t) := \frac{1}{2\pi} \sum_{|k| \leq f} e^{2\pi i t k}$$

für  $f \in \mathbb{N}$ .



# DAS NIEDRIG AUFGELOSTE SIGNAL

Wegen **Beugung**: bildgebendes Gerät hat **beschränkte Auflösung**.

⇒ das wirkliche empfangene, niedrig aufgelöste Signal ist

$$x_{\text{low}}: \mathbb{T} \rightarrow \mathbb{C}, \quad t \mapsto (x * g)(t)$$

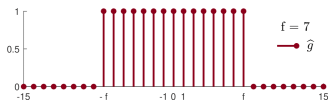
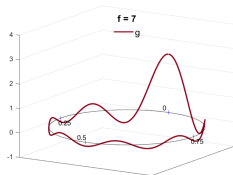
wobei

$$g(t) := \frac{1}{2\pi} \sum_{|k| \leq f} e^{2\pi i t k}$$

für  $f \in \mathbb{N}$ .

Die FOURIER-Transformation

von  $g$  ist  $\hat{g} = \mathbb{1}_{\{-f, \dots, f\}}$ .



# DAS NIEDRIG AUFGELOSTE SIGNAL

Wegen **Beugung**: bildgebendes Gerät hat **beschränkte Auflösung**.

⇒ das wirkliche empfangene, niedrig aufgelöste Signal ist

$$x_{\text{low}}: \mathbb{T} \rightarrow \mathbb{C}, \quad t \mapsto (x * g)(t) = \sum_{k=1}^r c_k g(t - t_k) \quad (* : \text{Faltung}).$$

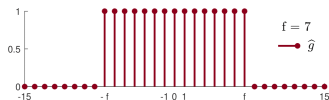
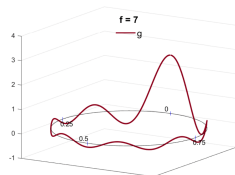
wobei

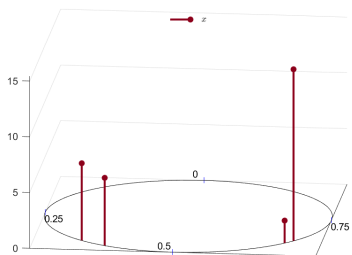
$$g(t) := \frac{1}{2\pi} \sum_{|k| \leq f} e^{2\pi i t k}$$

für  $f \in \mathbb{N}$ .

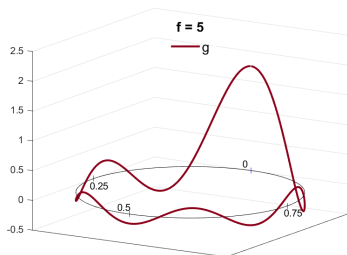
Die FOURIER-Transformation

von  $g$  ist  $\hat{g} = \mathbf{1}_{\{-f, \dots, f\}}$ .

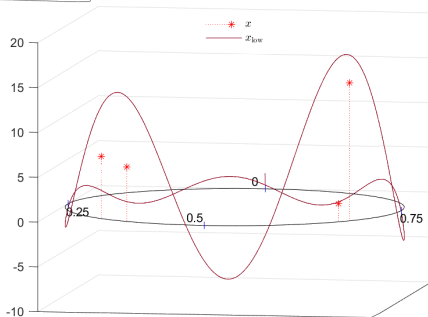




\*



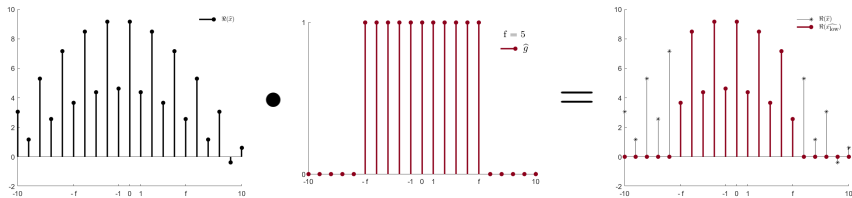
=



# MESSUNG: FOURIER-TRANSFORMATION DES NIEDRIG AUFGELÖSTEN SIGNALS

Die **FOURIER-Transformation** von  $x_{\text{low}}$  ist

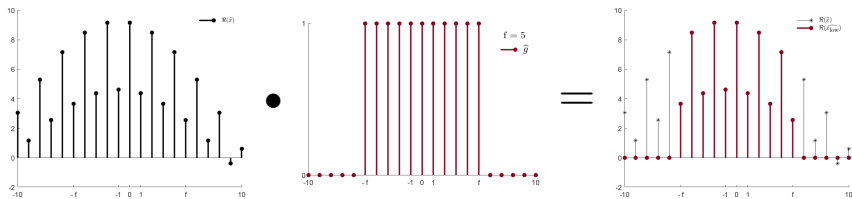
$$\widehat{x}_{\text{low}} : \mathbb{Z} \rightarrow \mathbb{C}, \quad j \mapsto \hat{x}(j)\hat{g}(j) = \left( \sum_{k=1}^r c_k e^{-2\pi i j t_k} \right) \mathbb{1}_{|j| \leq f}(j).$$



# MESSUNG: FOURIER-TRANSFORMATION DES NIEDRIG AUFGELÖSTEN SIGNALS

Die **FOURIER-Transformation** von  $x_{\text{low}}$  ist

$$\widehat{x}_{\text{low}} : \mathbb{Z} \rightarrow \mathbb{C}, \quad j \mapsto \hat{x}(j)\hat{g}(j) = \left( \sum_{k=1}^r c_k e^{-2\pi i j t_k} \right) \mathbb{1}_{|j| \leq f}(j).$$



$\rightsquigarrow$  Faltung von  $x$  mit  $g$  löscht die hohen Frequenzen von  $x$ .

# NIEDERFREQUENTE MESSUNGEN ALS VEKTOR

Da  $\hat{g} = \mathbb{1}_{|\cdot| \leq f}$ , bleiben  $d := 2f + 1$  Messungen

# NIEDERFREQUENTE MESSUNGEN ALS VEKTOR

Da  $\hat{g} = \mathbb{1}_{|\cdot| \leq f}$ , bleiben  $d := 2f + 1$  Messungen

$$\tilde{x} := (\widehat{x_{\text{low}}}(j))_{|j| \leq f} = \left( \sum_{k=1}^r c_k e^{-2\pi i j t_k} \right)_{|j| \leq f} = \sum_{k=1}^r c_k \psi(e^{-2\pi i t_k}) \in \mathbb{C}^d,$$

wobei  $\psi(z) := (z^j)_{|j| \leq f}$ .

# NIEDERFREQUENTE MESSUNGEN ALS VEKTOR

Da  $\hat{g} = \mathbb{1}_{|\cdot| \leq f}$ , bleiben  $d := 2f + 1$  Messungen

$$\tilde{x} := (\widehat{x_{\text{low}}}(j))_{|j| \leq f} = \left( \sum_{k=1}^r c_k e^{-2\pi i j t_k} \right)_{|j| \leq f} = \sum_{k=1}^r c_k \psi(e^{-2\pi i t_k}) \in \mathbb{C}^d,$$

wobei  $\psi(z) := (z^j)_{|j| \leq f}$ .

**Zwischenbilanz:**

$$x = \sum_{k=1}^r c_k \delta_{t_k}$$

# NIEDERFREQUENTE MESSUNGEN ALS VEKTOR

Da  $\hat{g} = \mathbb{1}_{|\cdot| \leq f}$ , bleiben  $d := 2f + 1$  Messungen

$$\tilde{x} := (\widehat{x_{\text{low}}}(j))_{|j| \leq f} = \left( \sum_{k=1}^r c_k e^{-2\pi i j t_k} \right)_{|j| \leq f} = \sum_{k=1}^r c_k \psi(e^{-2\pi i t_k}) \in \mathbb{C}^d,$$

wobei  $\psi(z) := (z^j)_{|j| \leq f}$ .

**Zwischenbilanz:**

$$x = \sum_{k=1}^r c_k \delta_{t_k} \xrightarrow[\text{Messung}]{\text{ergibt die}} \tilde{x} = \underbrace{\sum_{k=1}^r |c_k| e^{-2\pi i \varphi_k} \psi(e^{-2\pi i t_k})}_{\text{nichtnegative Linearkombination von Vektoren vom Typ } e^{-2\pi i \varphi} \psi(e^{-2\pi i t}) \in \mathbb{C}^d, \varphi, t \in \mathbb{T}}.$$

# NIEDERFREQUENTE MESSUNGEN ALS VEKTOR

Da  $\hat{g} = \mathbb{1}_{|\cdot| \leq f}$ , bleiben  $d := 2f + 1$  Messungen

$$\tilde{x} := (\widehat{x_{\text{low}}}(j))_{|j| \leq f} = \left( \sum_{k=1}^r c_k e^{-2\pi i j t_k} \right)_{|j| \leq f} = \sum_{k=1}^r c_k \psi(e^{-2\pi i t_k}) \in \mathbb{C}^d,$$

wobei  $\psi(z) := (z^j)_{|j| \leq f}$ .

**Zwischenbilanz:**

$$x = \sum_{k=1}^r c_k \delta_{t_k} \xrightarrow[\text{Messung}]{\text{ergibt die}} \tilde{x} = \underbrace{\sum_{k=1}^r |c_k| e^{-2\pi i \varphi_k} \psi(e^{-2\pi i t_k})}_{\substack{\text{nichtnegative Linearkombination} \\ \text{von Vektoren vom Typ} \\ e^{-2\pi i \varphi} \psi(e^{-2\pi i t}) \in \mathbb{C}^d, \varphi, t \in \mathbb{T}}}$$

**Wie erhalten wir  $x$  aus  $\tilde{x}$  zurück?**

# SPARSAME ZERLEGUNG VON SIGNALEN

- Ziel: gegeben ein **dictionary**  $\mathcal{A} \subseteq \mathbb{C}^d$ , **zerlege** Signal  $\tilde{x} \in \mathbb{C}^d$  in **endliche nichtnegative** Linearkombination **bezüglich**  $\mathcal{A}$ :

$$\tilde{x} = \sum_{a \in A \subset \mathcal{A}} c_a a, \quad c_a \geq 0, |A| < \infty.$$

# SPARSAME ZERLEGUNG VON SIGNALEN

- Ziel: gegeben ein **dictionary**  $\mathcal{A} \subseteq \mathbb{C}^d$ , **zerlege** Signal  $\tilde{x} \in \mathbb{C}^d$  in **endliche nichtnegative** Linearkombination **bezüglich**  $\mathcal{A}$ :

$$\tilde{x} = \sum_{a \in A \subset \mathcal{A}} c_a a, \quad c_a \geq 0, \quad |A| < \infty.$$

- $\exists$  sehr viele Zerlegungen von  $\tilde{x}$ . **Welche sind „gut“?**

# SPARSAME ZERLEGUNG VON SIGNALEN

- Ziel: gegeben ein **dictionary**  $\mathcal{A} \subseteq \mathbb{C}^d$ , **zerlege** Signal  $\tilde{x} \in \mathbb{C}^d$  in **endliche nichtnegative** Linearkombination **bezüglich**  $\mathcal{A}$ :

$$\tilde{x} = \sum_{a \in A \subset \mathcal{A}} c_a a, \quad c_a \geq 0, \quad |A| < \infty.$$

- $\exists$  sehr viele Zerlegungen von  $\tilde{x}$ . **Welche sind „gut“?**
- Bilder spärlich  $\implies$  Gut = **sparsam**  $\iff c_a = 0$  für viele  $a \in \mathcal{A}$

# SPARSAME ZERLEGUNG VON SIGNALEN

- Ziel: gegeben ein **dictionary**  $\mathcal{A} \subseteq \mathbb{C}^d$ , **zerlege** Signal  $\tilde{x} \in \mathbb{C}^d$  in **endliche nichtnegative** Linearkombination **bezüglich**  $\mathcal{A}$ :

$$\tilde{x} = \sum_{a \in A \subset \mathcal{A}} c_a a, \quad c_a \geq 0, \quad |A| < \infty.$$

- $\exists$  sehr viele Zerlegungen von  $\tilde{x}$ . **Welche sind „gut“?**
- Bilder spärlich  $\implies$  Gut = **sparsam**  $\iff c_a = 0$  für viele  $a \in \mathcal{A}$
- $\rightsquigarrow$  Gegeben  $\tilde{x}$  und  $\mathcal{A}$  löse

$$\min_{(c_a)_{a \in \mathcal{A}} \subset [0, \infty)} \|c\|_0 \quad \text{sodass} \quad \tilde{x} = \sum_{a \in \mathcal{A}} c_a a, \quad (P_0)$$

wobei  $\|c\|_0 := \#\{a \in \mathcal{A} : c_a \neq 0\}$ .

# SPARSAME ZERLEGUNG VON SIGNALEN

- Ziel: gegeben ein **dictionary**  $\mathcal{A} \subseteq \mathbb{C}^d$ , **zerlege** Signal  $\tilde{x} \in \mathbb{C}^d$  in **endliche nichtnegative** Linearkombination **bezüglich**  $\mathcal{A}$ :

$$\tilde{x} = \sum_{a \in A \subset \mathcal{A}} c_a a, \quad c_a \geq 0, \quad |A| < \infty.$$

- $\exists$  sehr viele Zerlegungen von  $\tilde{x}$ . **Welche sind „gut“?**
- Bilder spärlich  $\implies$  Gut = **sparsam**  $\iff c_a = 0$  für viele  $a \in \mathcal{A}$
- $\rightsquigarrow$  Gegeben  $\tilde{x}$  und  $\mathcal{A}$  löse

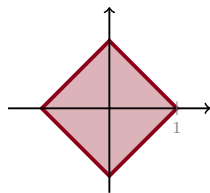
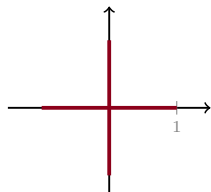
$$\min_{(c_a)_{a \in \mathcal{A}} \subset [0, \infty)} \|c\|_0 \quad \text{sodass} \quad \tilde{x} = \sum_{a \in \mathcal{A}} c_a a, \quad (P_0)$$

wobei  $\|c\|_0 := \#\{a \in \mathcal{A} : c_a \neq 0\}$ .

- ⊙  $\|\cdot\|_0$  ist **nicht konvex**, **nicht „robust“**.  $(P_0)$  ist **NP-schwer**.

# KONVEXIFIZIERUNG: $\ell_1$ -MINIMIERUNG

Was ist die nächstbeste **konvexe** Zielfunktion?

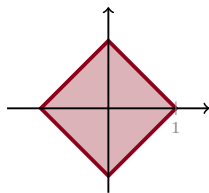
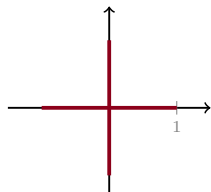


- (a) Der  $\|\cdot\|_0$ -„Einheitsball“,  
 $\{(x_1, x_2) \in \mathbb{R}^2 : \|x\|_0 \leq 1, |x_1|, |x_2| \leq 1\}$ .      (b) Der  $\|\cdot\|_1$ - Einheitsball.

**ABB. 3:** Die konvexe Hülle von (a) ist (b).

# KONVEXIFIZIERUNG: $\ell_1$ -MINIMIERUNG

Was ist die nächstbeste **konvexe** Zielfunktion?



(a) Der  $\|\cdot\|_0$ -„Einheitsball“,  
 $\{(x_1, x_2) \in \mathbb{R}^2 : \|x\|_0 \leq 1, |x_1|, |x_2| \leq 1\}$ . (b) Der  $\|\cdot\|_1$ - Einheitsball.

**ABB. 3:** Die konvexe Hülle von (a) ist (b).

→ löse stattdessen

$$\min_{(c_a)_{a \in \mathcal{A}} \subset [0, \infty)} \|c\|_1 := \sum_{a \in \mathcal{A}} |c_a| \quad \text{sodass} \quad \tilde{x} = \sum_{a \in \mathcal{A}} c_a a. \quad (P_1)$$

# DAS MINKOWSKI-FUNKTIONAL

Seien  $X$  ein **normierter** Raum und  $\inf(\emptyset) := \infty$ .

# DAS MINKOWSKI-FUNKTIONAL

Seien  $X$  ein **normierter** Raum und  $\inf(\emptyset) := \infty$ .

## DEFINITION

Das **MINKOWSKI-Funktional** einer Menge  $A \subseteq X$  ist

$$p_A: X \rightarrow [0, \infty],$$
$$x \mapsto \inf\{r > 0 : x \in rA\}.$$

# DAS MINKOWSKI-FUNKTIONAL

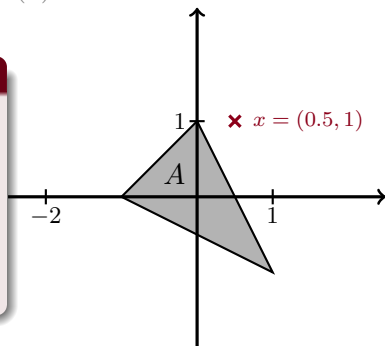
Seien  $X$  ein **normierter** Raum und  $\inf(\emptyset) := \infty$ .

## DEFINITION

Das **MINKOWSKI-Funktional** einer Menge  $A \subseteq X$  ist

$$p_A: X \rightarrow [0, \infty],$$

$$x \mapsto \inf\{r > 0 : x \in rA\}.$$



# DAS MINKOWSKI-FUNKTIONAL

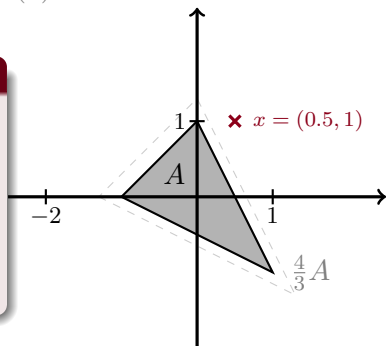
Seien  $X$  ein **normierter** Raum und  $\inf(\emptyset) := \infty$ .

## DEFINITION

Das **MINKOWSKI-Funktional** einer Menge  $A \subseteq X$  ist

$$p_A: X \rightarrow [0, \infty],$$

$$x \mapsto \inf\{r > 0 : x \in rA\}.$$



# DAS MINKOWSKI-FUNKTIONAL

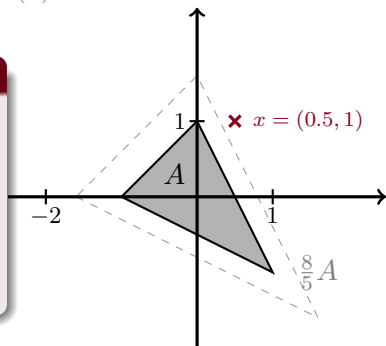
Seien  $X$  ein **normierter** Raum und  $\inf(\emptyset) := \infty$ .

## DEFINITION

Das **MINKOWSKI-Funktional** einer Menge  $A \subseteq X$  ist

$$p_A: X \rightarrow [0, \infty],$$

$$x \mapsto \inf\{r > 0 : x \in rA\}.$$



# DAS MINKOWSKI-FUNKTIONAL

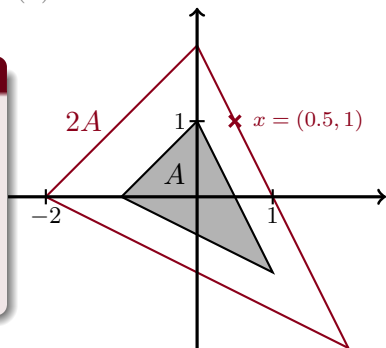
Seien  $X$  ein **normierter** Raum und  $\inf(\emptyset) := \infty$ .

## DEFINITION

Das **MINKOWSKI-Funktional** einer Menge  $A \subseteq X$  ist

$$p_A: X \rightarrow [0, \infty],$$

$$x \mapsto \inf\{r > 0 : x \in rA\}.$$



# DAS MINKOWSKI-FUNKTIONAL

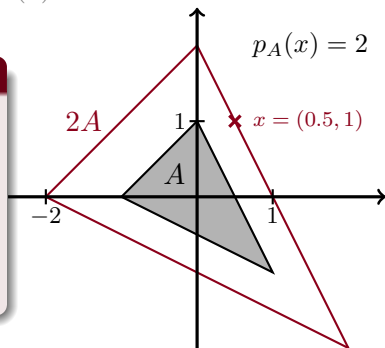
Seien  $X$  ein **normierter** Raum und  $\inf(\emptyset) := \infty$ .

## DEFINITION

Das **MINKOWSKI-Funktional** einer Menge  $A \subseteq X$  ist

$$p_A: X \rightarrow [0, \infty],$$

$$x \mapsto \inf\{r > 0 : x \in rA\}.$$



# DAS MINKOWSKI-FUNKTIONAL

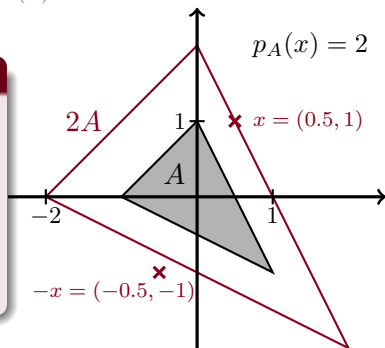
Seien  $X$  ein **normierter** Raum und  $\inf(\emptyset) := \infty$ .

## DEFINITION

Das **MINKOWSKI-Funktional** einer Menge  $A \subseteq X$  ist

$$p_A: X \rightarrow [0, \infty],$$

$$x \mapsto \inf\{r > 0 : x \in rA\}.$$



**Beispiel.** Wenn  $B := \{x \in X : \|x\| \leq 1\}$ , dann  $p_B = \|\cdot\|$ .

# WANN IST $p_A$ EINE NORM?

## SATZ (NORMEIGENSCHAFTEN)

Ist  $A \subseteq X$  eine nichtleere,

Menge, dann ist  $p_A$  eine *Norm* auf  $X$ .

# WANN IST $p_A$ EINE NORM?

## SATZ (NORMEIGENSCHAFTEN)

*Ist  $A \subseteq X$  eine nichtleere, konvexe, beschränkte, symmetrische, volldimensionale Menge, dann ist  $p_A$  eine Norm auf  $X$ .*

# WANN IST $p_A$ EINE NORM?

## SATZ (NORMEIGENSCHAFTEN)

Ist  $A \subseteq X$  eine nichtleere, *konvexe*, *beschränkte*, *symmetrische*, *volldimensionale* Menge, dann ist  $p_A$  eine *Norm* auf  $X$ .

*symmetrisch*:  $rA = A \ \forall |r| = 1$ .

# WANN IST $p_A$ EINE NORM?

## SATZ (NORMEIGENSCHAFTEN)

Ist  $A \subseteq X$  eine nichtleere, *konvexe*, *beschränkte*, *symmetrische*, *volldimensionale* Menge, dann ist  $p_A$  eine *Norm* auf  $X$ .

*symmetrisch*:  $rA = A \ \forall |r| = 1$ .

*volldimensional*:  $A$  enthält offene Umgebung von  $0$ .

# DIE ATOMISCHE NORM

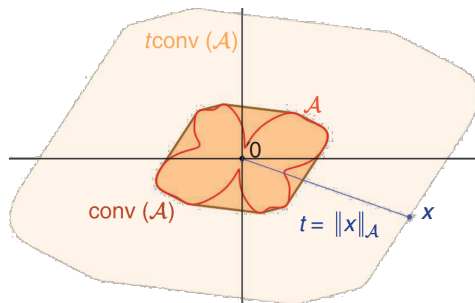
## DEFINITION (ATOMISCHE NORM)

Die von  $\mathcal{A} \subseteq \mathbb{C}^d$  induzierte **atomische Norm**  $\|\cdot\|_{\mathcal{A}}$  ist  $p_{\text{conv}(\mathcal{A})}$ , das MINKOWSKI-Funktional von  $\text{conv}(\mathcal{A})$ .

# DIE ATOMISCHE NORM

## DEFINITION (ATOMISCHE NORM)

Die von  $\mathcal{A} \subseteq \mathbb{C}^d$  induzierte **atomische Norm**  $\|\cdot\|_{\mathcal{A}}$  ist  $p_{\text{conv}(\mathcal{A})}$ , das MINKOWSKI-Funktional von  $\text{conv}(\mathcal{A})$ .



Quelle: Fig. 1 aus: Y. Chi, M. Da Costa: *Harnessing Sparsity Over the Continuum: Atomic Norm Minimization for Superresolution*. IEEE Signal Process. Mag., 37(2):39–57, 2020.

# DIE ATOMISCHE NORM FÜR SUPERRESOLUTION

Erinnerung:  $\tilde{x} = \sum_{k=1}^r |c_k| e^{-2\pi i \varphi_k} \psi(e^{-2\pi i t_k})$ .

# DIE ATOMISCHE NORM FÜR SUPERRESOLUTION

Erinnerung:  $\tilde{x} = \sum_{k=1}^r |c_k| e^{-2\pi i \varphi_k} \psi(e^{-2\pi i t_k})$ .

⇒ Wir wählen  $\mathcal{A} := \{e^{-2\pi i \varphi} \psi(e^{-2\pi i t}) : \varphi, t \in \mathbb{T}\} \subset \mathbb{C}^d$ .

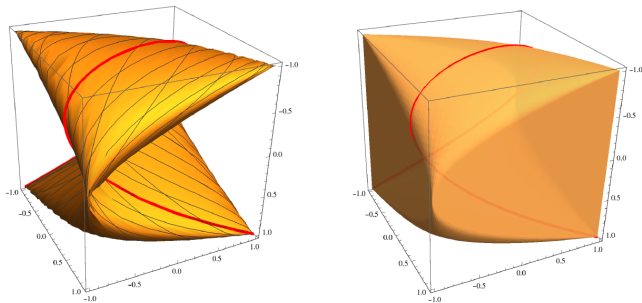


ABB. 4:  $\Re(\mathcal{A})$  und  $\Re(\text{conv}(\mathcal{A}))$  für  $d = 3$ .

# DIE ATOMISCHE NORM FÜR SUPERRESOLUTION

Erinnerung:  $\tilde{x} = \sum_{k=1}^r |c_k| e^{-2\pi i \varphi_k} \psi(e^{-2\pi i t_k})$ .

$\Rightarrow$  Wir wählen  $\mathcal{A} := \{e^{-2\pi i \varphi} \psi(e^{-2\pi i t}) : \varphi, t \in \mathbb{T}\} \subset \mathbb{C}^d$ .

$\xRightarrow{\text{Satz}}$   $\|\cdot\|_{\mathcal{A}}$  ist eine Norm.

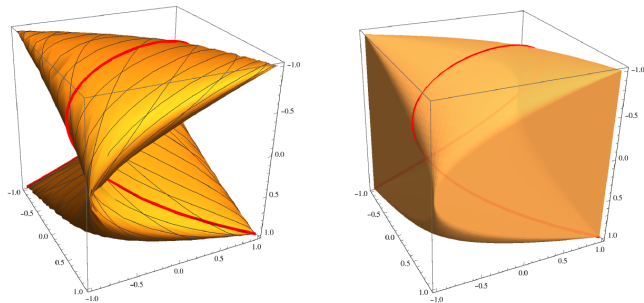


ABB. 4:  $\mathcal{R}(\mathcal{A})$  und  $\mathcal{R}(\text{conv}(\mathcal{A}))$  für  $d = 3$ .

$\|\cdot\|_{\mathcal{A}}$  UND  $(P_1)$ 

Die atomische Norm löst das sparsame Zerlegungsproblem  $(P_1)$ :

$\|\cdot\|_{\mathcal{A}}$  UND  $(P_1)$ 

Die atomische Norm löst das sparsame Zerlegungsproblem  $(P_1)$ :

**SATZ (DARSTELLUNG DER ATOMISCHEN NORM)**

Für eine *atomische Menge*  $\mathcal{A} \subseteq \mathbb{C}^d$  und  $\tilde{x} \in \mathbb{C}^d$  gilt

$$\|\tilde{x}\|_{\mathcal{A}} = \min \left\{ \|c\|_1 : \tilde{x} = \sum_{a \in \mathcal{A}} c_a a, c_a \geq 0 \right\}.$$

# $\|\cdot\|_{\mathcal{A}}$ UND $(P_1)$

Die atomische Norm löst das sparsame Zerlegungsproblem  $(P_1)$ :

## SATZ (DARSTELLUNG DER ATOMISCHEN NORM)

Für eine *atomische Menge*  $\mathcal{A} \subseteq \mathbb{C}^d$  und  $\tilde{x} \in \mathbb{C}^d$  gilt

$$\|\tilde{x}\|_{\mathcal{A}} = \min \left\{ \|c\|_1 : \tilde{x} = \sum_{a \in \mathcal{A}} c_a a, c_a \geq 0 \right\}.$$

Wie finden wir die **Anzahl** der Spikes  $r$ , die **Positionen**  $(t_k)_{k=1}^r$  und die **Amplituden**  $(c_k)_{k=1}^r$ ?

# DAS DUALE PROBLEM - POSITIONEN FINDEN

## Duale Problem

$$\|\tilde{x}\|_{\mathcal{A}} = \max_{p \in \mathbb{C}^d} \Re(\langle \tilde{x}, p \rangle) \quad \text{sodass} \quad \max_{t \in \mathbb{T}} |\langle \psi(e^{2\pi i t}), p \rangle| \leq 1 \quad (D_{\mathcal{A}})$$

# DAS DUALE PROBLEM - POSITIONEN FINDEN

## Duale Problem

$$\|\tilde{x}\|_{\mathcal{A}} = \max_{p \in \mathbb{C}^d} \Re(\langle \tilde{x}, p \rangle) \quad \text{sodass} \quad \max_{t \in \mathbb{T}} |\langle \psi(e^{2\pi i t}), p \rangle| \leq 1 \quad (D_{\mathcal{A}})$$

hat **semidefinite Formulierung**  $\leadsto$  schnell lösbar.

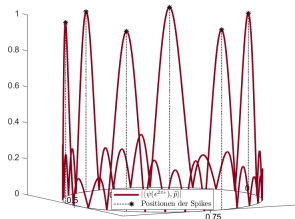
# DAS DUALE PROBLEM - POSITIONEN FINDEN

## Duale Problem

$$\|\tilde{x}\|_{\mathcal{A}} = \max_{p \in \mathbb{C}^d} \Re(\langle \tilde{x}, p \rangle) \quad \text{sodass} \quad \max_{t \in \mathbb{T}} |\langle \psi(e^{2\pi i t}), p \rangle| \leq 1 \quad (D_{\mathcal{A}})$$

hat **semidefinite Formulierung**  $\leadsto$  schnell lösbar.

Sei  $\tilde{p} \in \mathbb{C}^d$  **Lösung** von  $(D_{\mathcal{A}})$ .



# DAS DUALE PROBLEM - POSITIONEN FINDEN

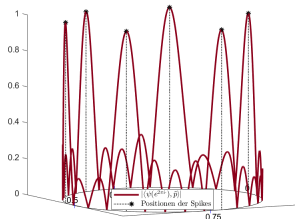
## Duale Problem

$$\|\tilde{x}\|_{\mathcal{A}} = \max_{p \in \mathbb{C}^d} \Re(\langle \tilde{x}, p \rangle) \quad \text{sodass} \quad \max_{t \in \mathbb{T}} |\langle \psi(e^{2\pi i t}), p \rangle| \leq 1 \quad (D_{\mathcal{A}})$$

hat **semidefinite Formulierung**  $\leadsto$  schnell lösbar.

Sei  $\tilde{p} \in \mathbb{C}^d$  **Lösung von  $(D_{\mathcal{A}})$** . Dann

$$\{t_k\}_{k=1}^r = \{t \in \mathbb{T} : |\langle \psi(e^{2\pi i t}), \tilde{p} \rangle| = 1\}.$$



## DAS DUALE PROBLEM - POSITIONEN FINDEN

## Duale Problem

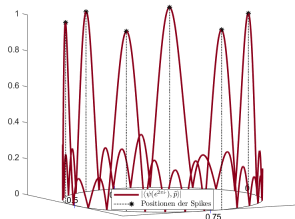
$$\|\tilde{x}\|_{\mathcal{A}} = \max_{p \in \mathbb{C}^d} \Re(\langle \tilde{x}, p \rangle) \quad \text{sodass} \quad \max_{t \in \mathbb{T}} |\langle \psi(e^{2\pi i t}), p \rangle| \leq 1 \quad (D_{\mathcal{A}})$$

hat **semidefinite Formulierung**  $\leadsto$  schnell lösbar.

Sei  $\tilde{p} \in \mathbb{C}^d$  **Lösung von  $(D_{\mathcal{A}})$** . Dann

$$\{t_k\}_{k=1}^r = \{t \in \mathbb{T} : |\langle \psi(e^{2\pi i t}), \tilde{p} \rangle| = 1\}.$$

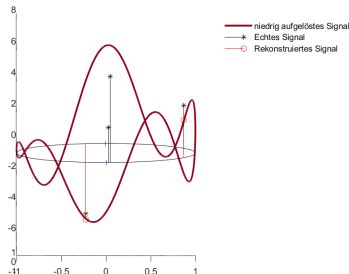
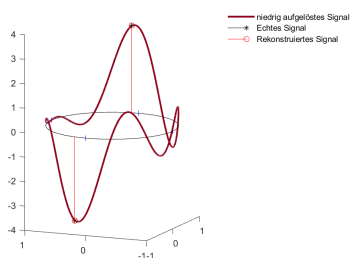
$\leadsto$  **Positionen**  $(t_k)_{k=1}^r$  sind Extrema des Betrages des trigonometrischen Polynoms  $t \mapsto \langle \psi(e^{2\pi i t}), \tilde{p} \rangle$  mit Koeffizientenvektor  $\tilde{p}$ .



# AMPLITUDEN FINDEN

Mithilfe der Positionen (näherungsweise bestimmt)  $(t_k^{\text{est}})_{k=1}^r \subset \mathbb{T}$ ,  
finden wir die **Amplituden**  $(c_k)_{k=1}^r$  durch Lösen des linearen  
Gleichungssystems

$$\sum_{k=1}^r c_k e^{-2\pi i j t_k^{\text{est}}} = \tilde{x}_j, \quad |j| \leq f.$$



Vielen Dank für eure  
Aufmerksamkeit.

Venkat Chandrasekaran, Benjamin Recht, Pablo Parrilo, and Alan Willsky.  
The Convex Geometry of Linear Inverse Problems.  
*Foundations of Computational Mathematics*, 12(6):849, Oct 2012.

Yuejie Chi and Maxime Ferreira Da Costa.  
Harnessing Sparsity Over the Continuum: Atomic Norm Minimization for Superresolution.  
*IEEE Signal Processing Magazine*, 37(2):39–57, 2020.

Gongguo Tang, Badri Narayan Bhaskar, Parikshit Shah, and Benjamin Recht.  
Compressed sensing off the grid.  
*IEEE Transactions on Information Theory*, 59(11):7465–7490, 2013.

Diese Folien  $\rightsquigarrow$  [viktorajstein.github.io](https://viktorajstein.github.io).